

# JEOFİZİK ETÜTLERİN ZEMİN BÜYÜTME ANALİZİNDEKİ ÖNEMİ VE ÖRNEKLER

## Importance of Geophysical Investigations in Soil Amplification and Some Case Studies

Semih TEZCAN\* ve Turan DURGUNOĞLU\*

### ÖZET

Bu Önemli mühendislik yapılarının yer seçiminde göz önüne alınması gereken hususlar özetlenmiş ve projeye geçmeden önce yürütülmeli gereken, özellikle jeodinamik ve sismik etüdler için gerekli parametreleri tayin etmeye yarayan metodlar kısaca gözden geçirilmiştir.

Jeoloji, Jeofizik ve İnşaat Mühendisliği gibi çeşitli disiplinlerin müsterek ve koordineli çalışmasını gerektiren böyle bir etüdde bilhassa jeofizik metodların yeri ve önemi belirtilmiştir. Ayrıca, bir deprem halinde çeşitli zemin tabakalarından geçen kayma dalgalarının zemin serbest yüzeyinde aldığı karakteri tayin etmek üzere yapılacak zemin büyütme analizlerinde takip edilecek arazi, laboratuvar ve teorik çalışmaların akış diyagramı verilmiştir.

Yer seçimi ve zemin dinamiği etüdlerine örnek olmak üzere **a)** Bursa Ovası, **b)** Söğütlüçeşme Demiryolu Viyadükleri, **c)** Soma II Termik Santrali jeodinamik etüdleri sonuçları kısaca özetlenmiş, birbirinden farklı çalışmaların uyuşum derecesine işaret edilmiştir.

### ABSTRACT

A brief discussion is presented about the techniques of determining various soil parameters necessary for conducting proper geodynamic and seismic investigations for the purpose of assessing the characteristics of a site selected for an important engineering structure.

The importance and the necessity of especially the geophysical techniques are emphasized in such studies, which require collaboration from the geological, geophysical and geotechnical engineering disciplines.

Further, a flow diagram is supplied indicating the families of field, laboratory and theoretical investigations, which are necessary to conduct a soil amplification study for the seismic shear waves propagating from bedrock to free surface, through various soil layers.

For purposes of illustration, the basic results and the relative merits of various geophysical studies are presented for three different case studies of soil amplification namely; **a)** Bursa Valley, **b)** Railway viaducts at Söğütlüçeşme, and **c)** Soma II Coal Fired Power Plant.

## GİRİŞ

Köprü, baraj, fabrika veya enerji santrali gibi önemli mühendislik yapılarının inşa edilmesine namzet olan bir saha, projelendirmeye geçilmeden evvel, deprem mühendisliği açısından iyice etüt edilmelidir. Bu maksatla, taban kayaya kadar yer alan bütün zemin tabakalarının geometrik, fiziksel, mekanik ve dinamik özellikleri tayin edilmeli ayrıca, genişçe bir bölgenin faylanma durumu incelenerek aktif veya pasif fay kuşağına nازaran sahanın durumu tespit edilmelidir.

Sahanın yer altı su seviyesi ve yer altı su kaynakları, hem temel inşaatında çıkarabilecegi zorluklar açısından hem de, bir deprem halinde toprak kaymasına, göçmeye veya sıvılaşmaya yol açıp açmayacağı açısından incelenmelidir. Sahanın sel baskınlarından masun olup olmadığı da bılıhassa araştırılmalıdır.

Ayrıca, zemine ait bütün parametreler tayin edildikten sonra, bölgenin sismik tarihçesi araştırılarak, taban kayada muhtemel bir depremin varlığı kabul edilmeli ve bu deprem dalgalarının zemin yüzündeki büyütmesi ve frekans muhtevası hesaplanmalıdır. Nihayet, bu yüzey

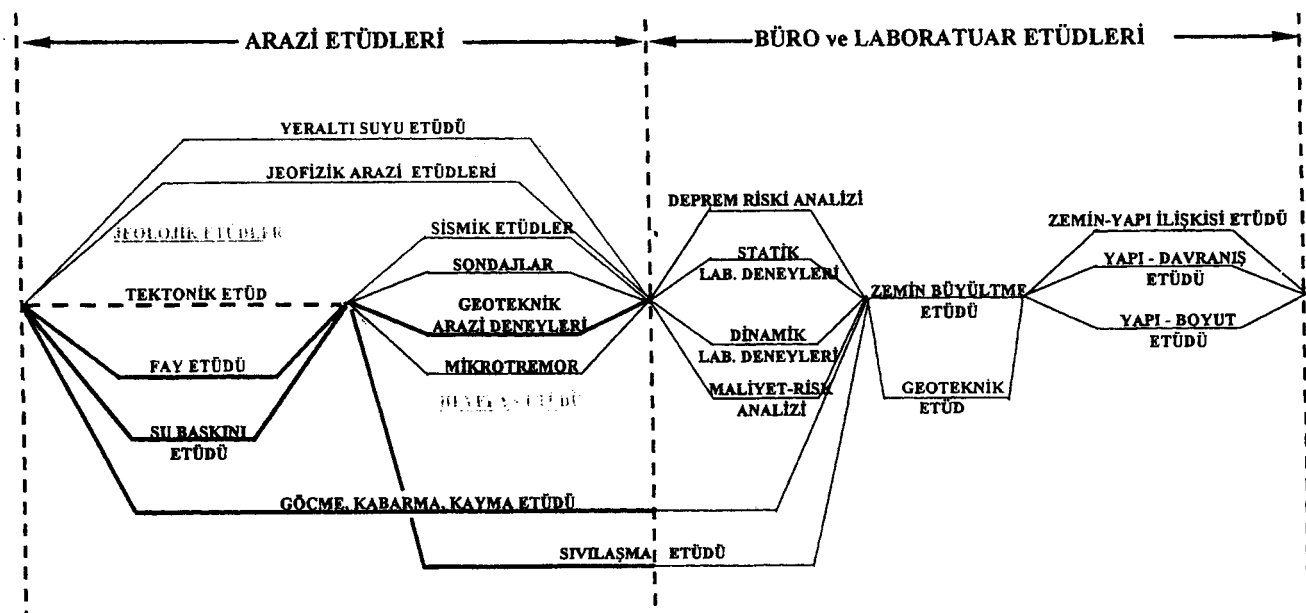
dalgalarının etkisi altında yapının temel ve temel üstü kışminın davranışları araştırılmalıdır. Zemin yüzeyindeki büyütmeyi hesaplayabilmek için gerekli parametrelerin tayininde jeofizik, jeoloji ve inşaat mühendisi gibi çeşitli disiplinlere ait araştırcıların müsterek ve koordineli bir şekilde çalışmasına ihtiyaç vardır.

Bu makalede, hem zemin etütlerinde kullanılan çeşitli metotlar, hem de böyle koordineli bir çalışmanın yer aldığı uygulamalardan örnekler verilmiştir.

## YER SEÇİMİ ETÜTLERİ

### Akış Diyagramı

Deprem mühendisliği açısından gerekli zemin etütleri akış diyagramı Şekil 1'de gösterilmiştir. Bu diyagramda jeofizik etütler kalın bir çizgi ile işaretlenmiştir. Akış diyagramının boğum yerleri aynı zamanda belirli bir aktivitenin bitip diğerinin başlama noktasına tekabül etmektedir. Bir mühendislik yapısının depreme karşı emniyetini bilimsel olarak ve sihhatli bir şekilde teminat altına alabilmek için bir hayli etüt yapmak gereği bu diyagramdan açıkça anlaşılmaktadır.



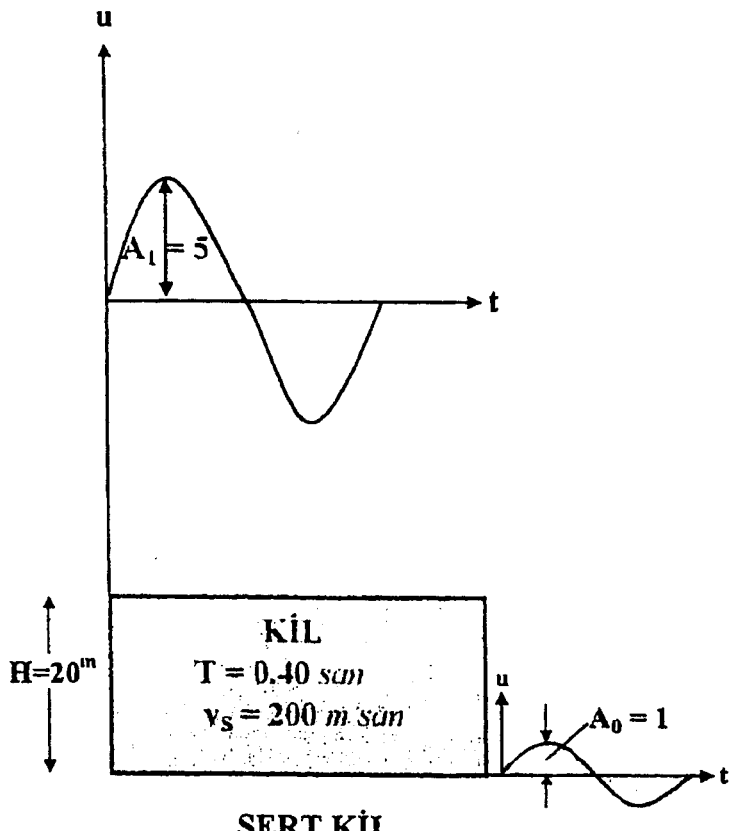
Şekil 1. Zemin etüdleri akış diyagramı.

Figure 1. Flow chart of soil investigations.

**Zemin Büyüütme Etüdü**

Bu etütler arasında, son on sene zarfında dünyada ki bütün deprem mühendislerinin ilgisini ve dikkatini çeken en önemli etüt zemin büyütme etüdüdür. Zemin büyütme etüdünün önemine işaret etmek üzere,  $H = 20$  m kalınlığında, kayma dalgası hızı  $V_s = 200$  m/san ve bütün özellikleri aynı olan iki zemin tabakası farz edelim. Zemin tabakalarından birincisinin altındaki tabakanın kayma dalgası hızı  $V_s = 500$  m/san, ikincisinin altındaki tabakanın kayma dalgası hızı ise  $V_s = 900$  m/san olsun. Nonlinearilik, söñüm yüzdesi ve yoğunluk farklıları ihmali edilirse, bir deprem halinde yüzeydeki maksimum büyütme (Tezcan and İpek 1974), birinci tabakada  $A = 5$ ,

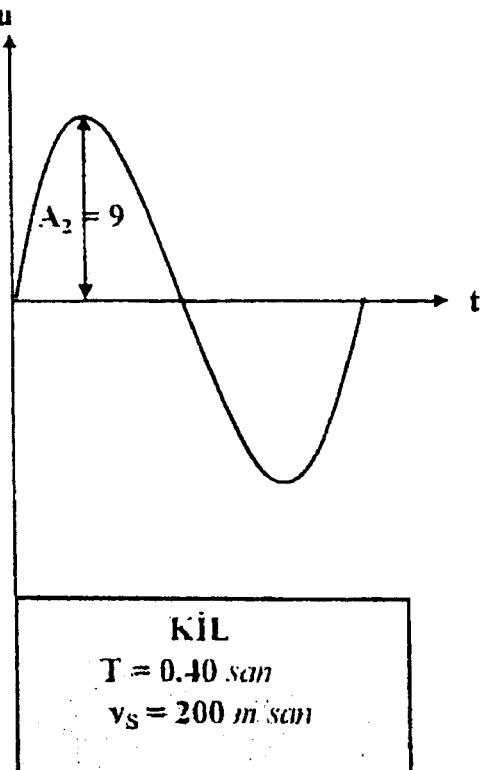
$$A = \frac{2}{\lambda} = 2 \frac{(\rho V_s)_{alt}}{(\rho V_s)_{üst}} = 2 \frac{500}{200} = 5 \quad (1)$$



olduğu halde, ikinci tabakada  $A = 9$  dur (Şekil 2).

$$A = 2 \frac{(\rho V_s)_{alt}}{(\rho V_s)_{üst}} = 2 \frac{900}{200} = 9 \quad (2)$$

Burada,  $\rho$  = kütle yoğunluğu,  $\lambda$  = tabakalar arasındaki impedansdır. Görülüyor ki, her özelliği aynı olan iki zemin tabakasının serbest yüzündeki büyütmeler birbirlerinden yüzde seksen farkedebilmektedir. Nonlinearliğin ve söndürmenin göz önüne alınması halinde bu büyütme değerlerinde bir miktar değişimler beklenirse de, problemin bünyesinde yatan zemin büyütme etüdünün gereğine ve önemine ışık tutan özellik baki kalır.



Şekil 2. Engelleme oranı ( Impedans )'nın önemini.

Figure 2. Importance of Impedance ratio.

$$\lambda = \frac{(\rho v_s)_{üst}}{(\rho v_s)_{alt}}$$

$$T = 4H / v_s$$

$$\lambda = 0.22$$

$$v_s = 900 \text{ m/san}$$

## LABORATUVAR DENEYLERİ - JEOFİZİK ÖLÇÜMLER

Bir zemin büyütme etüdü yapabilmek için gerekli tüm bilgiler ile, bu bilgileri tesbit ve tayin etmeye yarayan arazi ve laboratuvar metodları topluca Çizelge 1'de özetlenmiştir. En önemli bilgiler olan zemin profili,  $V_s$  ve D parametreleri çizelgenin solunda özel bir işaretle belirtilmiştir. Genellikle, her parametrenin tayini için hem arazide yerinde ölçüm metodları, hem de sondajlar dan alınan zemin numunelerini laboratuvara deneme metodları vardır. Yerinde ölçme ve laboratuvara dene me metodlarının birbirlerine nazaran fayda ve mahzurlarını şu şekilde özetlemek kabildir:

### Laboratuvar Metodlarının Üstünlükleri

1. Gerilme ve deformasyon seviyesi istenildiği şekilde ayarlanabildiği için, statik ve dinamik yükleme dene yeleri şiddetli bir depremdeki gerilme ve deformasyon şartlarında yürütülebilir. Halbuki, yerinde

yapılan ölçülerde, yüksek seviyedeki deprem geril me ve deformasyonlarını meydana getirebilmek mümkün değildir.

2. Boşluk suyu basıncının değeri, arazide ölçü yapıldığı anda bir tek değer olduğu halde, mukavemet ba kımından çok önemli olan bu basınç değerini, laboratuvara istenilen seviyede tutmak, böylece boşluk suyu basıncının oynayacağı rolü daha yakını dan tayin etmek mümkündür.
3. Çevre basıncının şiddeti ve etkime süresi istenildiği gibi ayarlanabilir.
4. Karışık jeolojik formasyonların bulunduğu yerlerde arazi ölçümlerinden sıhhatalı sonuçlar alınanın zor olduğu hallerde, zemin numunelerinin laboratuvar dene yeleri daha ayrıntılı bilgiler verir.
5. Numune üzerindeki periyodik gerilme değişimi istenildiği şiddet ve frekansa tutulabildiği için, çeşitli cins ve şiddetteki depremlerin etkilerini incele mek imkan dahiline girer.

**Çizelge 1. Zemin Büyütme Metodu için gerekli bilgiler.**

**Table 1. The parameters necessary in a soil amplification study.**

GEREKLİ BİLGİLER	JEOFİZİK METOTLAR				JEOTEKNİK METOTLAR					JEOLOJİ JEODEZİ FOTO-GRA-METRİ	
	ARAŞI ETÜTLERİ				ARAŞI ETÜTLERİ			LABORATUVAR			
	REFRAKSİYON REFLEKSİYON METODU	DARBE VE KUYU LOGU	DİRENÇ METODU	GRAVİTE METODU	SONDAJ	SPT VANE PENETR.	KARŞIT KUYU REZONANS	MİKRO TREMOR veya REZONANS	STATİK DİNAMİK DENEY DENEY		
Zemin Profili	*	**	*	*	**	-	-	-	-	*	
Faylanma	*	**	**	*	-	-	-	-	-	**	
Yeraltı Suyu	*	*	-	-	**	*	-	-	-	-	
FİZİKSEL ÖZELLİKLER	*										
Su içeriği ( $W_n$ )										**	
Atterberg Limitleri										**	
Granülometri										**	
Birim Hacim Ağırlığı										**	
Boşluk oranı ( $e$ )						*				**	
MEKANİK ÖZELLİKLER											
Kayma Mukavemeti						**				*	
Aşırı Yüklenme Oranı (OCR)						-				**	
DİNAMİK ÖZELLİKLER											
$v_s$ = Kayma dalga hızı	*	-	**			***				*	
D = Söndürme oranı	*	*	*			-				*	
$v_p$ = Boyuna dalga hızı	**	*				*	-			*	
$v$ = Poisson oranı	-	**				**	-			*	
T = Hakim periyot	-	-				-	**			*	

\* Geçerli metot, \*\* En geçerli metot. • En önemli, temel parametreler

### Arazi Ölçümlerinin Üstünlükleri

1. Zemin, tabiatta bulunduğu gerçek şartlar altında ölçüme tabi tutulmaktadır. Numune alırken meydana gelebilecek örselenmeler bahis konusu değildir. laboratuvar deneylerinden elde edilen kayma modülünü 0.8 ila 2.5 gibi bir örselenme faktörü ile çarpmak gerektiği halde, jeofizik etütlerde böyle bir düzeltme faktörüne gerek yoktur.
2. Laboratuvar deneyinde kullanılan zemin numunesi ne kadar örselenmemiş olursa olsun, zeminin heterojen yapısını, yer yer bulunabilecek boşluk ve çatlaklarını aynı ile temsil edemez. Bu sebepten yerinde yapılan yeteri kadar ölçümlerde temsil yeteneksizliği diye bir şey söz konusu değildir.
3. Sondajlarda inilebilecek derinlik ve numune alınabilecek zemin sertlik derecesi ve cinsleri sınırlıdır. Örneğin, granüler zeminlerden örselenmemiş numune alabilmek çok zordur. Halbuki, jeofizik ölçülerde istenilen derinliğe kadar inilebilir ve her tür zemin araştırılabilir.
4. Çok derinlere inilmesi gereken veya geniş bir alanı kaplayan sahalarda sondaj ameliyesi, numune alma ve laboratuvar deneyleri jeofizik etütlerle nazaran hem daha çok zaman alır, hem de daha pahalıdır.

Çizelge 1'de, her parametrenin tayininde kullanılan en geçerli ve önemle önerilen metodlar (\*\*) çift yıldız ile gösterilmiştir. İşin önemine, zaman ve mali imkanlara göre bu metodlardan bir kısmını veya tamamını uygulayarak zemin büyütmesi için gerekli bilgileri tayin etmelidir. Bu bilgilerin sağı altında, ileride bahsedileceği gibi, nonlinear bir büyütme analizi yapmalıdır. Veri olarak kullanılan bilgiler ne kadar sıhhatli ve gerçeğe yakın olursa, analiz sonuçları da o kadar güvenilirlik kazanır.

### DİNAMİK PARAMETRELERİN TAYINI

Bir zemin büyütme etüdü için gerekli temel bilgilerden olan  $V_s$  = kayma dalgası hızı,  $D$  = kritik sönmür oranı, zemin tabakalarının kalınlık ve fiziksel özelliklerini, faylanma ve  $T$  = zemin hakim titreşim periyodunun direkt veya dolaylı yollardan elde edilmesine yarayan çeşitli metodlar ile, zemin büyütme analizi akış diyagramı topluca Şekil 3'te verilmiştir. Kayma dalgası hızı 700 m/san'den daha büyük olan tabakalar pratik bakımından taban kaya kabul edilebilirler.

### Kayada Deprem Tahmini

Bölgenden sismisitesine ve şiddetli bir deprem halinde yapıda göz yumulabilecek hasar derecesine göre, taban kayada muhtemel bir depremin varlığı kabul edilir ve bu depremin  $a_{max}$  = maksimum ivmesi,  $T$  = hakim spektral periyodu,  $t_d$  = titreşim süresi belli usullere göre tayin edilir.

Genellikle, biri yapının elastik davranışma sınırını zorlamayan ve oldukça sık yer alabilecek nitelikte orta şiddette bir deprem, diğer ise yapının plastik davranışına yol açabilecek fakat ne suretle olursa olsun yapıyı yıkmacı ve yapı ömrü boyunca en çok bir defa meydana gelebilecek nitelikte çok şiddetli diğer bir deprem olmak üzere iki ayrı deprem seçilir. Yumuşak zemin halinde, az şiddetli fakat büyük peryotlu uzak orijinli bir depremin varlığını düşünmek de kritik bir durum yaratabilir.

### Dalga Hızları Oranı

Sismik kırılma veya yansımada etütlerinde genellikle tabakaların  $V_p$  = boyuna dalga hızı elde edilir. Kayma dalgası hızı  $V_s$  değerini bulmak için,  $\nu$  = Poisson oranı tayin veya tahmin edilerek aşağıdaki bağıntıdan faydalananır:

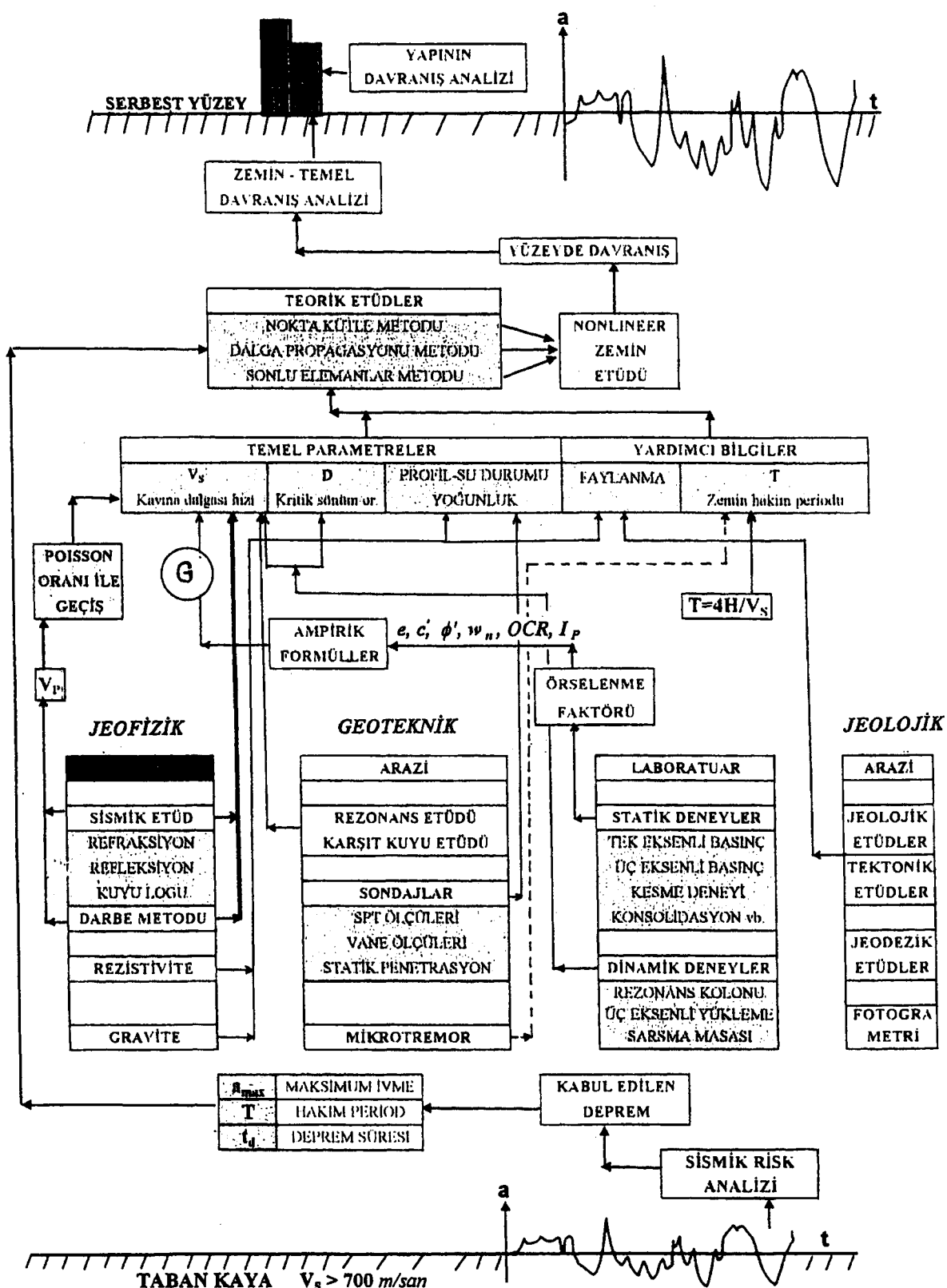
$$V_s = V_p \sqrt{\frac{1 - 2\nu}{2 - 2\nu}} \quad (3)$$

Tipik bazı zemin ve kaya türleri için, Poisson oranı ve dalga hızları Çizelge 2'de dalga hızlarının oranlarının Poisson oranı ile değişimleri Şekil 4'de gösterilmiştir. Kayma dalgasının hızının direkt tayini metodları Martin (1969) ve Stokoe ve Woods (1972) tarafından ayrıntılı olarak verilmiştir.

### Cubuk Elastik Ortam Dönüştürücü

Genellikle,  $E$  = elastisite modülü laboratuvara çubuk numuneler üzerinde tayin edildiğinden, tablolarda verilen değerler hep çubuk numuneler içindir. Halbuki, çubuk boyuna doğrultusuna dik iki doğrultudaki birim deformasyonları sıfır olan yarı sonsuz elastik bir ortamda,  $E_p$  = elastik ortam elastisite modülü farklıdır ve arasında şu bağıntı vardır:

$$E_p = E \frac{(1 - \nu)}{(1 + \nu)(1 - 2\nu)} \quad (4)$$



Şekil 3. Zemin Büyütme Etüdü.

Figure 3. Soil Amplification Study.

Çizelge 2. Poisson oranı ve dalga hızları mertebeleri

Table 2. Values of Poisson's ratio, and wave velocities.

MALZEME	$\nu$	$v_p$ m/san	$v_s$ m/san
Granit	0.32	6000	3070
Kumtaşı	0.1.-0.20	4000	2560
Kireçtaşısı	0.31	4500	2360
Tüf	0.30	1400	750
Şist	0.15-0.25	2700	1650
Çakılık kum	0.25-0.30	2500	1400
Sıkı kum	0.35-0.40	2000	910
Gevşek kum	0.30-0.35	1000	510
Siltli kil	0.40	1500	620
Sert kil	0.40-0.45	1800	570
Yumuşak kil	0.45-0.50	750	180
Su	0.50	1435	0
Hava	-	337	-

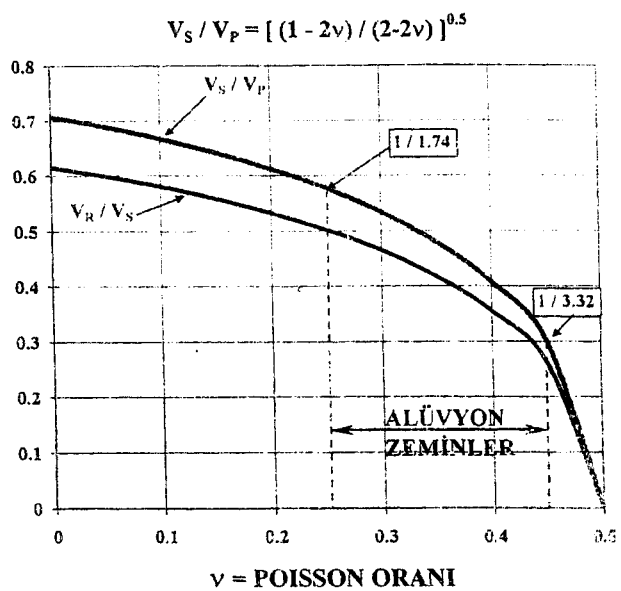
Çizelge 3. Enine dalga hızları.

Table 3. Shear wave velocity.

LABORATUVAR DENEYİ BASED ON LABORATORY TESTS				JEOFİZİK ETÜT BASED ON REFRACTION SURVEY			
Layer No.	e	$\phi^*$	$v_s$ m/s	Layer No	$v_s$ m/s	$v_p$ m/s	$\mu$
1	0.60	32°	256	1	190	350	0.30
2	0.60	32°	359	-	-	-	-
3	0.55	30°	379	2	362	1200	0.45
4	0.50	30°	434	2	452	1500	0.45
5	0.50	30°	464	-	-	-	-
6	0.40	30°	527	3	590	1950	0.45

Dolayısı ile, laboratuvara çubuk numune üzerinde yapılan rezonans kolonu deneyinden bulunan  $V'_p$  = çubuk boyuna dalga hızını,  $V_p$  = elastik ortamda boyuna dalga hızına çevirebilmek için:

$$V_p = \sqrt{E_p / \rho} \quad (5)$$



Şekil 4. Dalga hızlarının Poisson oranı ile değişimi.

Figure 4. Variation of wave velocities with Poisson's ratio.

$$V'_p = \sqrt{E_p / \rho} \quad (6)$$

bağıntıları yardımı ile

$$V_p = V'_p \sqrt{\frac{(1 - v)}{(1 + v)(1 - 2v)}} \quad (7)$$

bulunan (7) bağıntısını uygulamak gereklidir.

Bu ifadeden de görüleceği üzere, boyuna dalgalar, yarı sonsuz elastik ortam içinde, aynı malzemeden yapılmış elastik bir çubuk içindekinden daha hızlı yayılırlar. Kayma dalgası hızları ise çubukta ve elastik ortamda aynıdır.

### Kayma Modülü için Deneysel Bağıntı

Granüler veya kohezyonlu zeminlerin, çok küçük birim deformasyon haline tekabül eden maksimum kayma modülü  $G_{max}$  için Hardin and Drenovich (1972) tarafından ton/m<sup>2</sup> cinsinden şu empirik formül verilmektedir.

$$G_{max} = 1031 \frac{(2.97 - e)^2}{1 + e} (OCR)^a \sqrt{\sigma_0} \quad (8)$$

Burada,  $e$  = boşluk oranı,  $OCR$  = aşırı konsolidasyon oranı,  $\sigma_0$  = ortalama efektif gerilme ( $ton/m^2$ ),  $a$  = plastisite indisine bağlı bir sayı olup, yardımcı bağıntılar şunlardır:

$$\sigma_0 = \frac{1 + 2 K_0}{3} p_v \quad (9)$$

$$K_0 = 1 - \sin \phi' \quad (10)$$

$$a = 1.33 I_p - 3.33 I_p^2 + 7.19 I_p^3 - 7.29 I_p^4 + 2.60 I_p^5 \quad (11)$$

Burada,  $I_p$  = plastisite indis,  $p_v$  = düşey efektif gerilme,  $K_0$  = yatay sükunetteki zemin basıncı katsayıısı,  $\phi'$  = efektif kayma mukavemeti açısıdır.

### Kritik Sönüüm Oranı için Deneysel Bağıntı

Laboratuvara statik veya dinamik deneylerle veya başka metodlarla bulunmamış olduğu takdirde ve çok küçük bir birim deformasyon hali için  $D_{max}$  = maksimum kritik söküüm yüzdesi Hardin-Drenovich, tarafından şöyle verilmektedir:

$$D_{max} = 33 - n \quad (12)$$

$$D_{max} = 28 - n \quad (suya doygun kumlarda) \quad (13)$$

$$D_{max} = 31 - m \quad (killerde) \quad (14)$$

ve burada

$$n = 1.5 \log N \quad (15)$$

$$m = (3 + 0.33 f) \sqrt{0.1 \sigma_0} - 1.5 \sqrt{f + n} \quad (16)$$

$N$  = yükleme devir adedi,  $f$  = deprem titreşimi hakim frekansıdır.

### Zemin Hakim Periyodu

Sağlam bir kaya tabakası üzerinde bulunan yumuşak bir zemin tabakasının, genliği küçük sökümsüz titreşimler için  $T$  = hakim titreşim periyodu vardır ve

$$T = \frac{4 H}{(2k - 1) v_s} \quad (17)$$

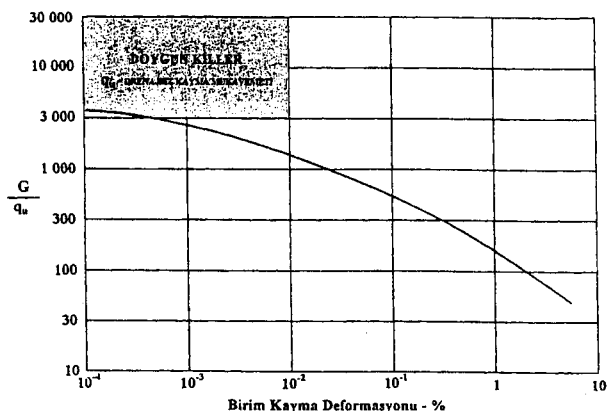
formülü ile hesaplanabilir. Burada,  $H$  = tabaka kalınlığı,  $k$  = mod sayısıdır. Titreşimin genlikleri arttıkça, kayma modülünde ve dolayısı ile,

$$v_s = \sqrt{\frac{G}{\rho}} \quad (18)$$

bağıntısı ile verilen kayma dalgası hızında azalma olacağı için, hakim periyot değeri tedricen düşer ve çok şiddetli deprem halinde nonlineer davranıştan dolayı hakim periyot kalmaz. Çok tabaklı zeminlerin de ufak genlikli titreşimler için hakim titreşim periyodu vardır, fakat bu periyodu bulmaya yarayan tek bir formül vermek mümkün değildir. Tabakaların özellikleri birbirine yakın ise, ortalama  $v_s$  hızına sahip ve toplam  $H$  kalınlığında tek bir tabaka varmış gibi hesap yapılabilir. Eğer en üstteki tabaka, alttaki diğer tabakalara nazaran bariz bir şekilde yumuşak ve zayıf ise, zemin yüzeyindeki hakim periyot en üst tabakanın hakim periyoduna eşit veya ondan biraz büyüktür.

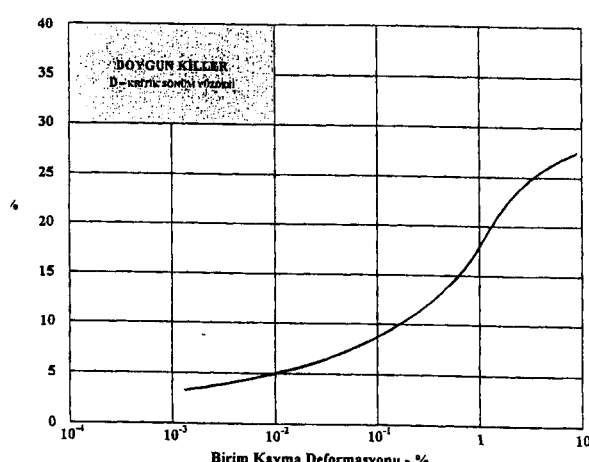
## Doğrusalsızlık Etkisi

Kayma modülünün ve kritik söñüm oranının  $\gamma$  = birim kayma deformasyonuna göre deñisimi sırası ile Şekil 5 ve Şekil 6'da verilmiştir. Doðrusalsızlık analizi yapmak için doðrusal analizin tekrarı prensibine dayanan bir yol seçilir. Zemin büütme analizlerinde, ilk önce bir  $\gamma$  seçilir ve buna tekabül eden G ve D değerleri, grafiklerden veya deneysel formüllerden alınarak hesaplarda kullanılır. Analiz sonunda hesaplanan birim kayma deformasyonu, analiz başında kabul edilen birim kayma deformasyonuna yakın çıkışcaya kadar iterasyona devam edilir. Genellikle çok tabakalı zeminlerde bes ila



**Şekil 5.** Kayma modülünün birim kayma deformasyonu ile değişimi.

Figure 5. Variation of Shear Modulus with Shear Strain.



Şekil 6. Kritik sönüm yüzdesinin birim kayma deformasyonu ile değişimi

Figure 6. Variation of critical damping with Shear Strain

yedi iterasyon, oldukça sıhhatlı bir analiz için yeterli olmaktadır.

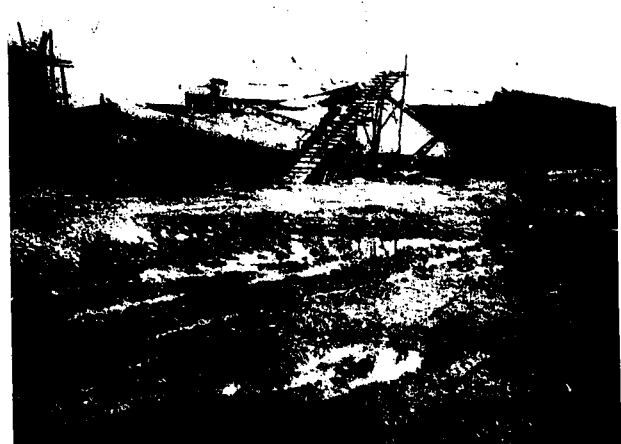
## **JEOFİZİK ETÜDLERE UYGULAMALI ÖRNEKLER**

Bursa Ovası

28 Mart 1970 Gediz depreminin episantır noktası Bursa Ovası'na 135 km uzaklıkta olduğu halde, ovada bulunan Tofaş otomobil fabrikalarının kaba inşaatı tamamlanan tek katlı bazı binalarında yıkılmalar ve ağır hasarlar meydana gelmiştir (Şekil 7). Yapılan incelemeler, bina periyodu ile zemin hakim periyodunun birbirine çok yakın olması sebebiyle rezonansa benzer bir hادisenin cereyan ettiğini göstermiştir.

Taban kayada 0.01 g mertebesindeki ivmeler yumuşak zemin tabakalarından geçen en az beş kere daha büyütülerek zemin yüzeyinde 0.05 g mertebesine yükseltilmiştir. Bina çerçevelerinin doğal periyotları olan  $T = 1.25$  saniye hakim periyodu ile gelen bu zayıf deprem ivmeleri, bu sefer bina tarafından en az beş misli daha büyütülerek çatı seviyesi hizasında 0.25 g mertebesine ulaşmıştır. Deprem Yönetmeliğine göre elastik olarak ancak 0.06 g mertebesindeki kuvvetlere karşı koymak şekilde projelendirilen bu yapılar, çatı hizasındaki munzam deprem yüklerini taşıyamayarak yıkılmışlardır.

Bursa Ovası'nda meydana gelen bu enteresan hadisseyi bilimsel açıdan izah edebilmek amacıyla, jeofizik etütleri içine alan bir araştırma programı hazırlanmıştır.



Şekil 7. Tofaş Otomobil Fabrikası, Bursa, (yıkılan C Bloku).

Figure 7. Collapsed Blok-C at Tofas Factory, Bursa.



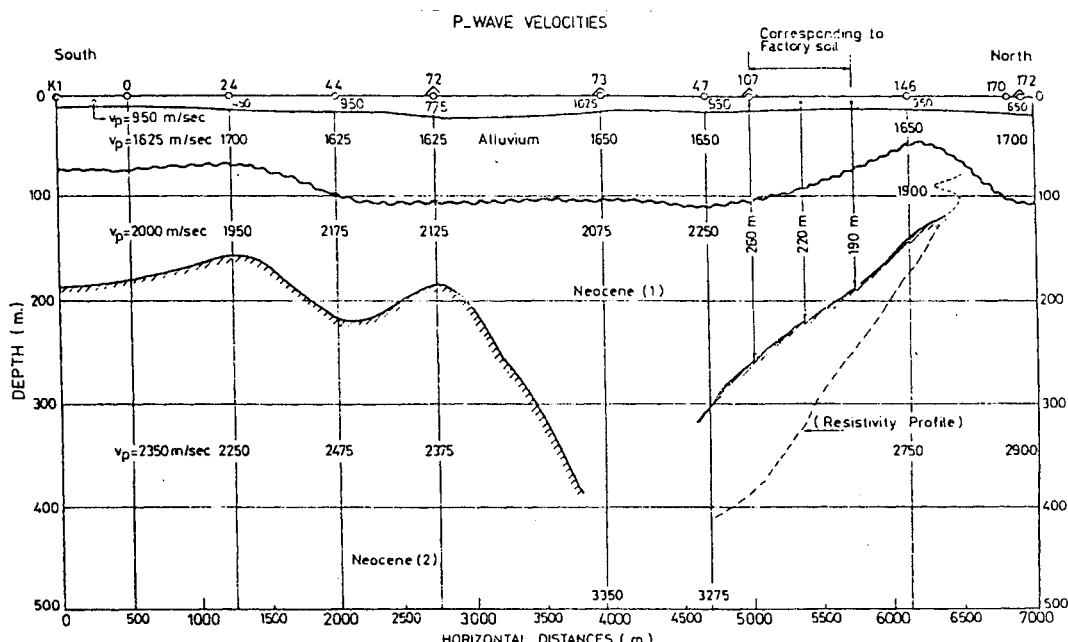
Şekil 8. Bursa Ovası Refraksiyon Etüdü, Devlet Su İşleri Ekibi.

Figure 8. Geophysical team of DSI at Bursa during the refraction surveys.

Önce, Devlet Su İşleri Genel Müdürlüğü (DSİ) Jeofizik Fen Heyeti Müdürlüğü tarafından bir sismik refraksiyon etüdü yapılarak ovanın kuzey-güney doğrultusunda 8 km uzunlığında bir en kesiti çıkartılmıştır. Daha sonra, derindeki tabakaların da durumunu tespit edebilmek amacıyla, Maden Tetkik Arama Enstitüsü (MTA) uzmanları tarafından bir sismik refleksiyon etüdü yapılmıştır. Her iki sismik etüden yeri Şekil 8'deki haritada ve elde edilen zemin en kesitleri sırası ile Şekil 9 ve 10'da verilmiştir. Görüldüğü gibi, DSİ ve MTA kesitleri arasında önemli bir fark yoktur. İlk 30 m derinlige kadar olan zemin bilgileri sondajlar yardımı ile daha ayrıntılı bir şekilde elde edilmiş, laboratuvar deneyleri jeofizik etütlerden bulunan dalga hızlarına çok yakın değerler vermiştir.

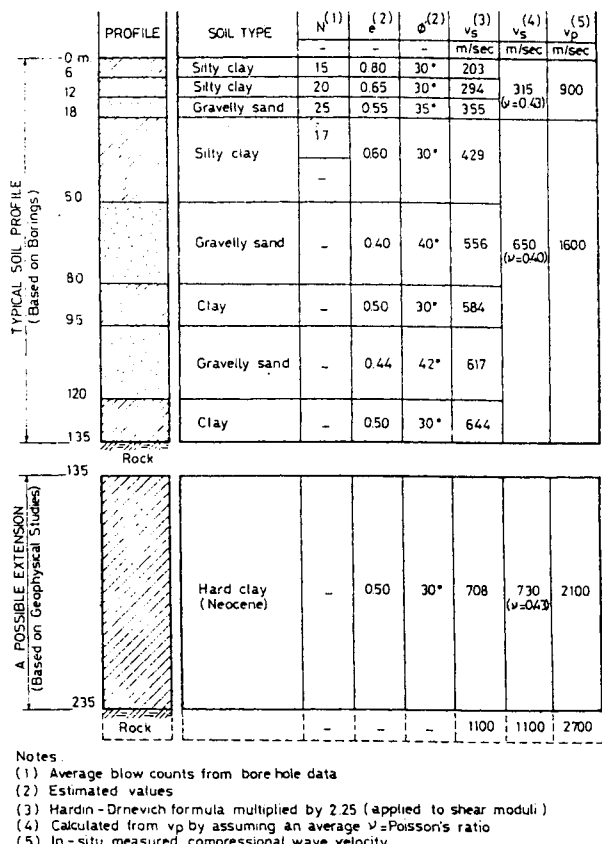
Zemin büyütme analizlerinde kullanılan idealleştirilmiş profil Şekil 11'de verilmiştir.

Bu profilden üst kısmında kalan 135 metrelük kısmı kullanılarak yapılan zemin büyütme analizi sonuçları Şekil 12'de özetlenmiştir. Bu Şekilden de görüleceği üzere küçük genlikler için hakim periyot  $T = 1$  saniye civarında ve büyütme  $A = 4.5$  mertebesindedir (Tezcan-Durgunoğlu-Whitman 1974). Laboratuvar deneylerine dayanan kayma modülünü düzeltmek için kullanılan örselenme faktörü 2.25 olarak saptanmıştır.



Şekil 9. Refraksiyon yöntemi ile zemin boyuna kesiti (DSİ).

Figure 9. Soil profile, refraction method (DSI).



Şekil 10. Tofaş Fabrikasında zemin profili.

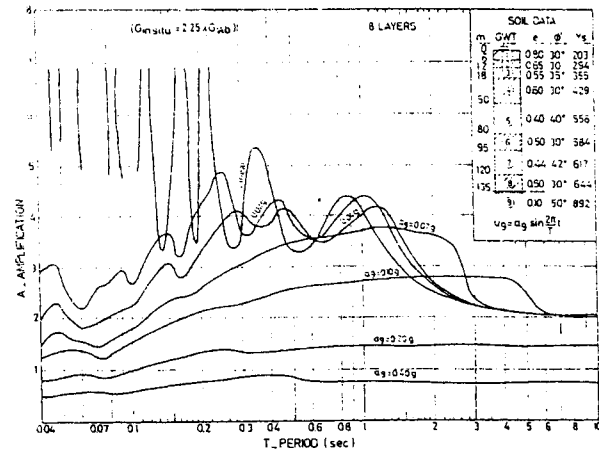
Figure 10. Soil profile at Tofas Factory Site.

### Söğütlüçeşme Viyadükleri

Bayındırılık Bakanlığı'na bağlı Demiryolları, Limanlar ve Hava Meydanları (DLH) İnşaatı Genel Müdürlüğü tarafından İstanbul Söğütlüçeşme tren istasyonunda inşa edilmek üzere projelendirilen demiryolu viyadüklerinin genel vaziyet planı Şekil 12'de gösterilmiştir.

İmar ve İskan Bakanlığı Deprem Araştırma Enstitüsü uzmanları tarafından tanzim edilen ve sık bir refraksiyon etüdüne dayanan jeofizik profil Şekil 15'de ve 5-6-7 sondajlarından geçen enine kesite ait zemin büyütme analizi sonuçları Şekil 16'da gösterilmiştir.

Sondaj ve jeofizik kesitler büyük bir uyuşum içinde çıkışmış, çoğu hallerde örselenme faktörü 1.0 olarak saptanmıştır. Zemin titreşim periyodu olarak, küçük ivmeler için,  $T = 0.54$  san ile  $T = 1.10$  saniye aralığının hakim olduğu anlaşılmıştır (Tezcan, Durgunoğlu H, İpek and Durgunoğlu T 1974).



Şekil 11. Tofaş Fabrikası için zemin büyütme spektrumu.

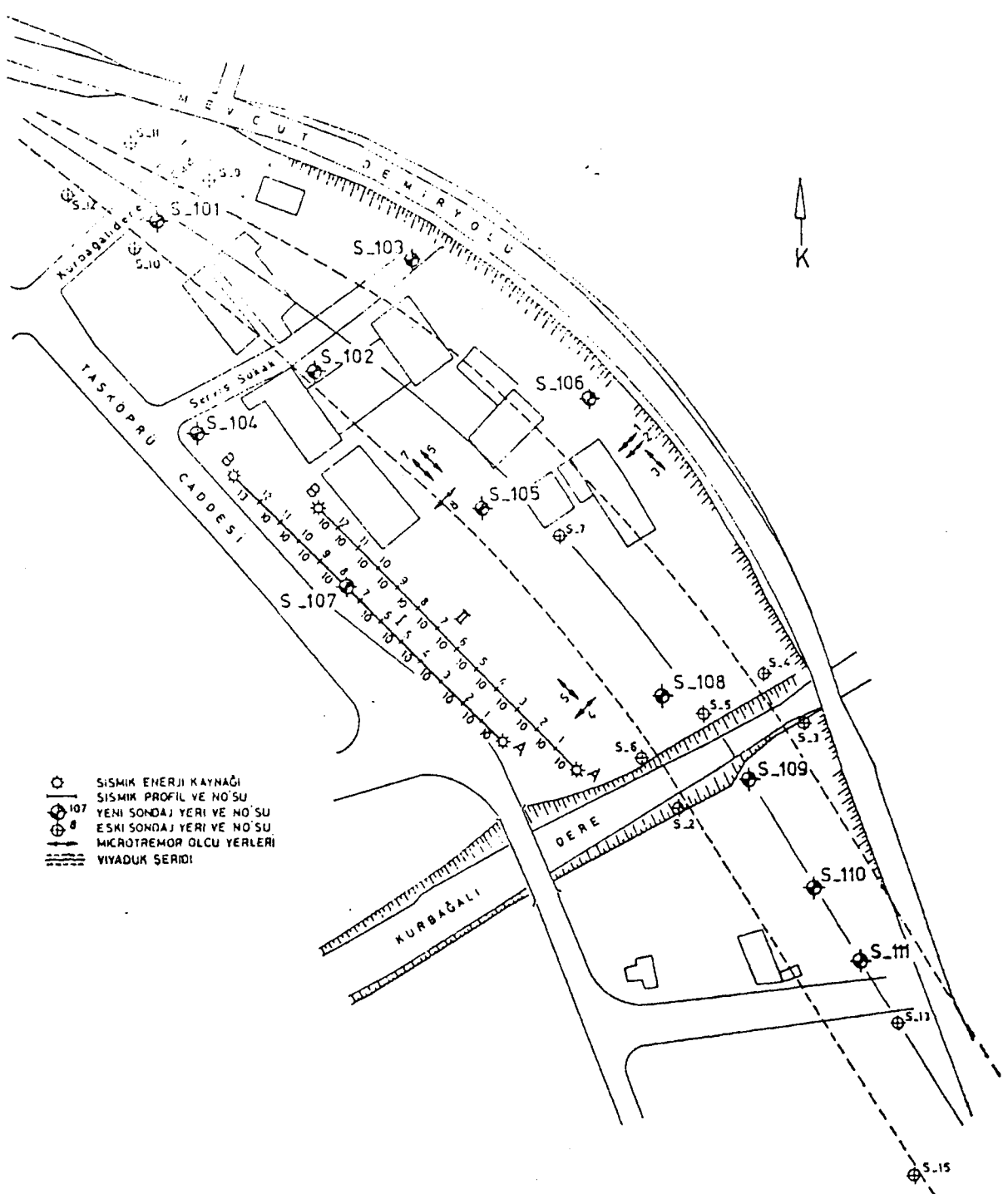
Figure 11. Soil amplification spectra for Tofas.

### Soma-II Termik Santrali

Türkiye Elektrik Kurumu (TEK) tarafından, halen (1974) mevcut Soma santralının kuzeydoğusuna yaptırılacak 300 Mega wattlık Soma-II Termik Santralı arazisinin vaziyet planı Şekil 17'de gösterilmektedir. Makine dairesi kuzeydoğu köşesinde alınan mikrotremor kaydının Fourier hız genlik spektrumu eğrisini veren Şekil 18, zemin hakim periyodunun küçük genlikler için  $T = 0.47$  saniye civarında olduğunu göstermektedir. Sahanın jeofizik etütleri Elektrik İşleri Etüd İdaresi (EIE) uzmanlarında yapılmıştır.

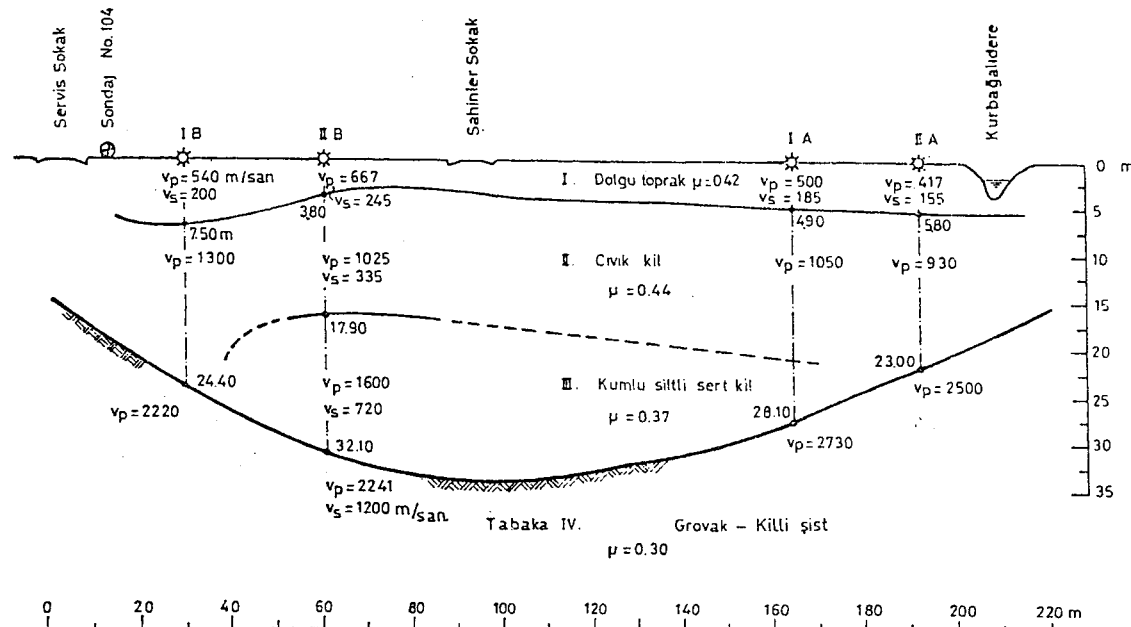
Sondaj ve jeofizik etüt verilerine dayanılarak hazırlanan mukayeseli zemin profilleri Şekil 19'da verilmiştir. Bekleneceği üzere her iki zemin profili için ayrı ayrı yürütülen zemin büyütme analiz diyagramları birbirlerine çok yakın çıkmış ve yer darlığı sebebi ile, Şekil 20'de sadece, jeofizik etütlerden bulunan dalga hızları kullanılarak yapılan analiz sonuçları verilmiştir (Tezcan and Durgunoğlu 1974).

Laboratuvar deneylerine dayanan kayma modülünü arazi ölçümü seviyesine çıkarabilmek için 2.5 mertebesinde bir örselenme faktörü kullanmak gereği hasıl olmuştur. Granüler malzemenin mevcudiyeti sebebi ile, zemin numunelerindeki örselenmenin derecesi yüksek olmuştur. Laboratuvar deneylerine dayanan ve örselenme faktörü ile düzeltilmiş kayma dalgası hızlarının, jeofizik etüt ile bulunan değerlere uygunluğu Çizelge 3'de açıkça görülmektedir.



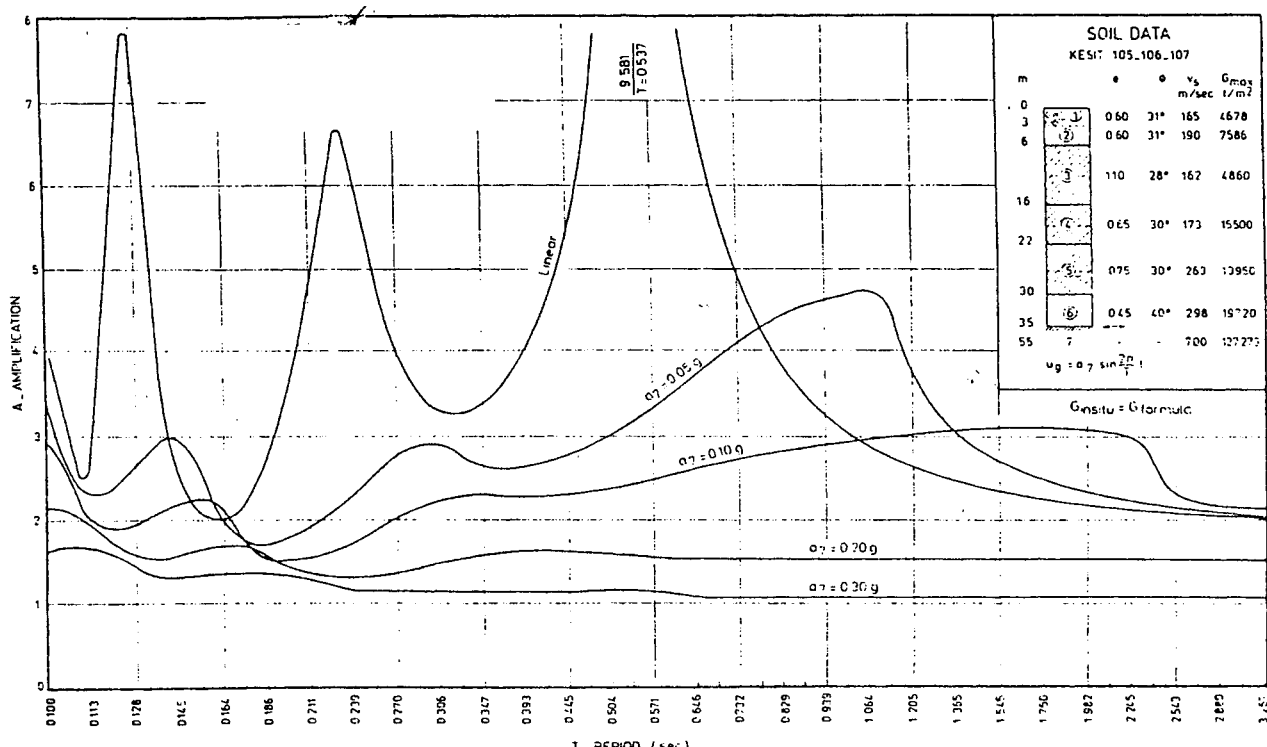
Şekil 12. Genel Arazi Planı, Sögütlüçeşme.

Figure 12. General Layout, Sögütlüçeşme.



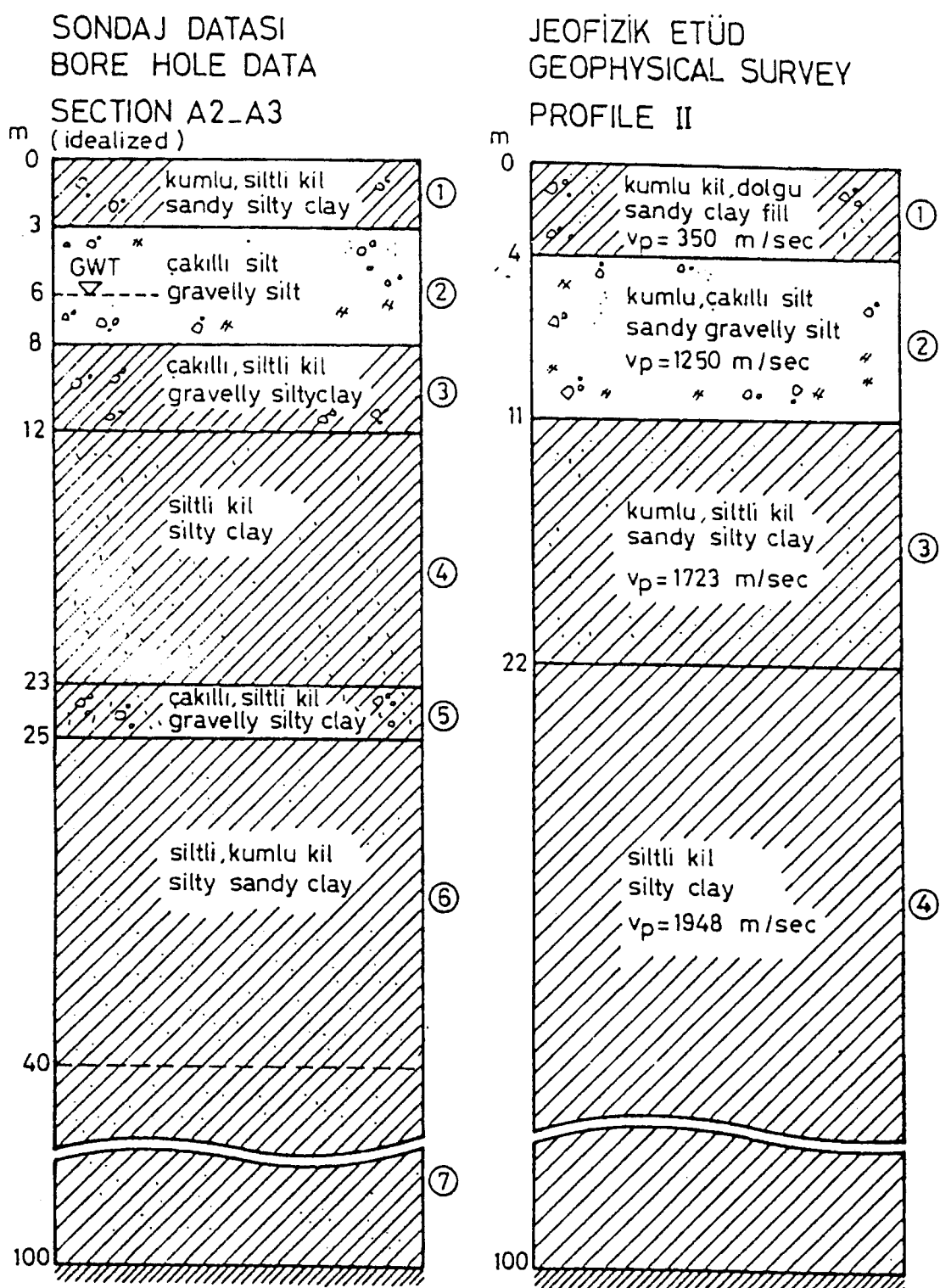
Şekil 13. Sögütlüçeşme Viyadükleri sismik profili.

Figure 13. Seismic Profile, Sögütlüçeşme Viaducts.



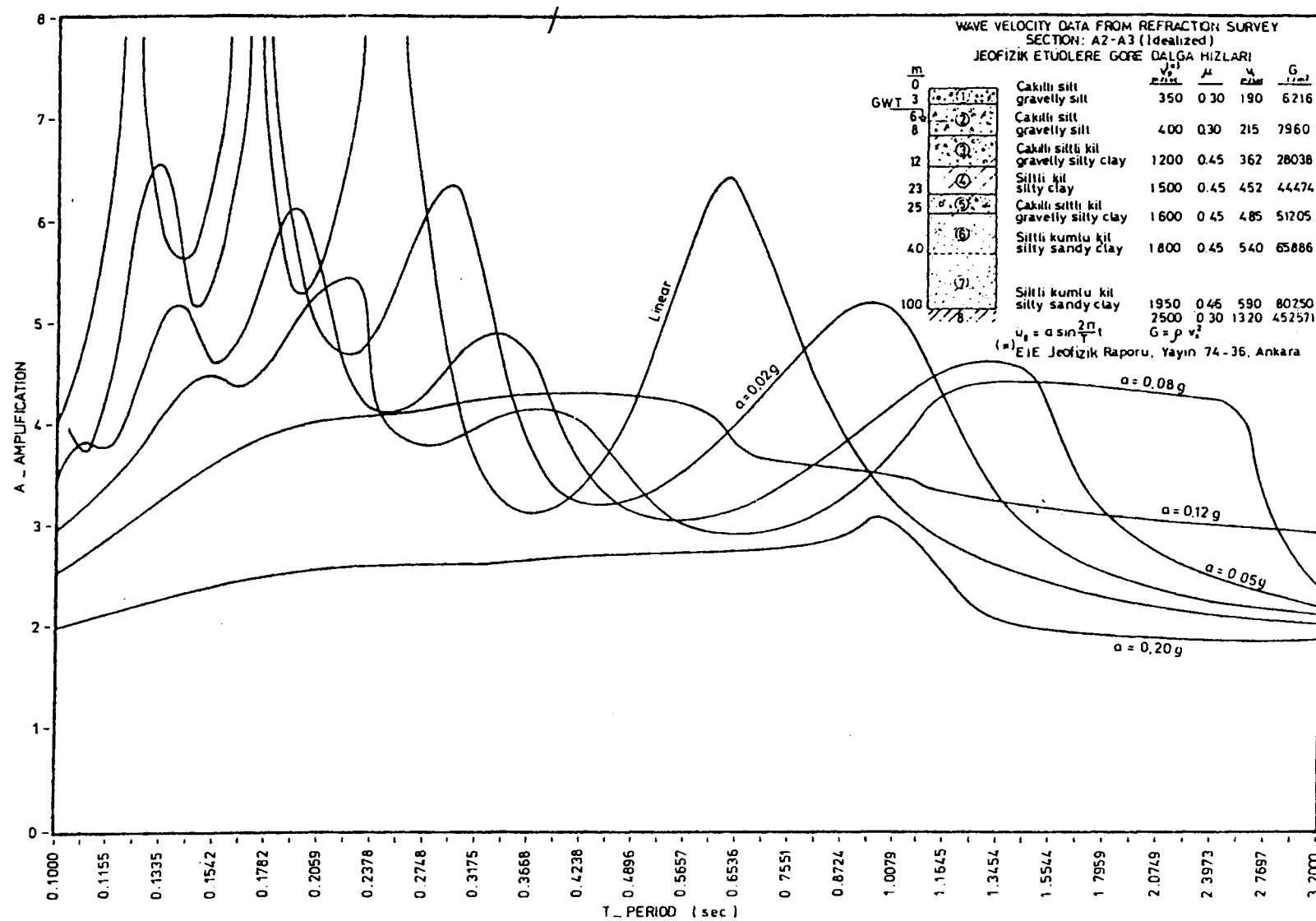
Şekil 14. Zemin büyütme eğrileri, Sögütlüçeşme Viyadükleri.

Figure 14. Soil amplification, Sögütlüçeşme Viaducts.



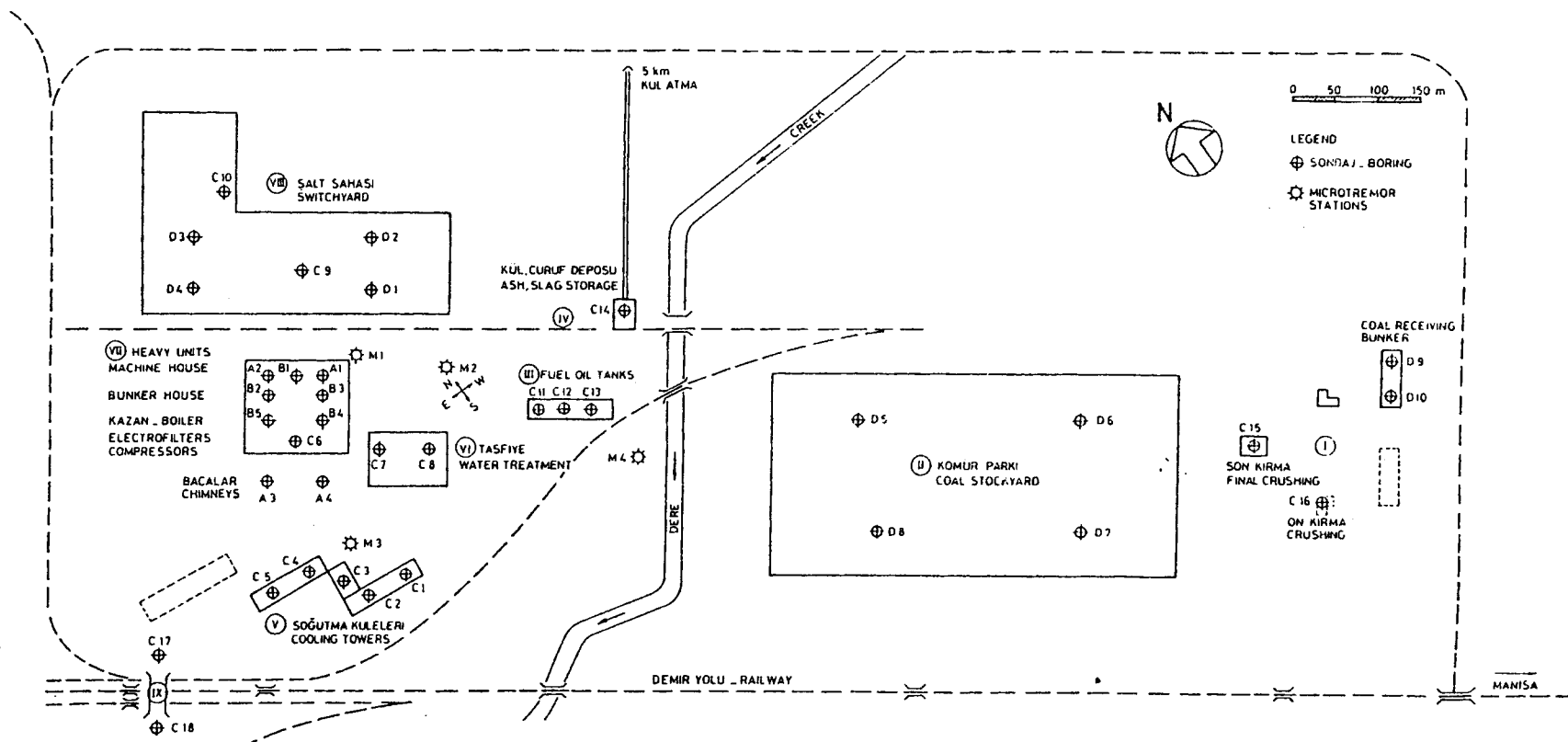
Şekil 15. Sondaj ve Jeofizik etüt sonuçları.

Figure 15. Comparison of bore hole and geophysical data.



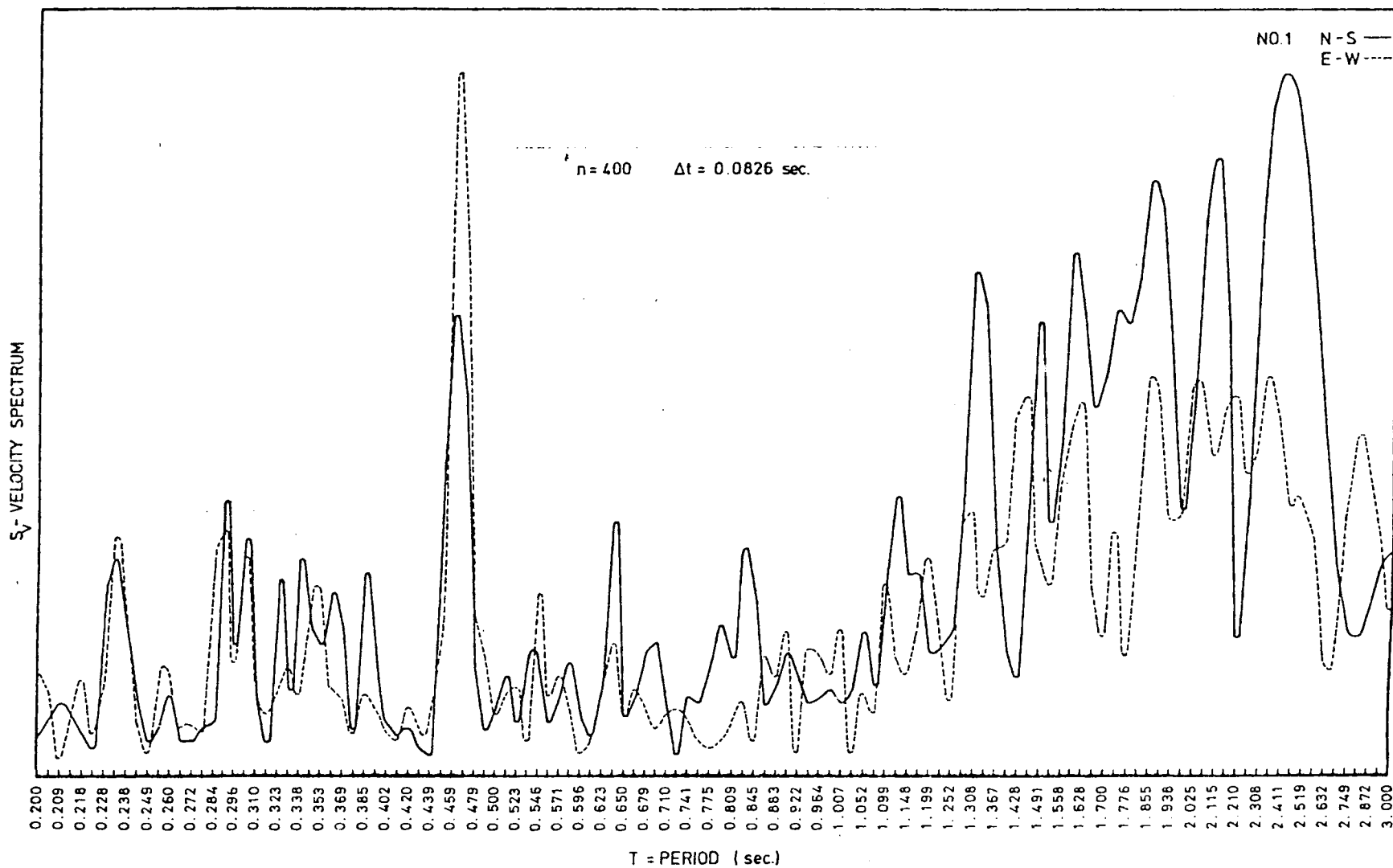
Şekil 16. Zemin büyütme eğrileri, Soma II santrali.

Figure 16. Soil amplification, Soma II Power Plant.



Şekil 17. Soma II santrali genel durum.

Figure 17. Thermoelectric power plant general layout.



Şekil 18. Soma II santrali hız Fourier spektrumu.

Figure 18. Thermoelectric power plant velocity Fourier amplitude spectrum.

## **SONUÇ VE ÖNERİLER**

1. Deprem bölgelerinde inşa edilecek herhangi bir mühendislik yapısının ülke ekonomisi ve can emniyeti bakımından önem derecesi iyice tesbit edilerek, o yapının ömrü süresi içinde maruz kalacağı en şiddetli deprem risk-maliyet açısından bilimsel yollardan tayin edilmelidir.
2. Yapı altındaki zeminin sağlam kayaya kadar olan kısmının geometrik ve fiziksel özellikleri sondaj, jeolojik ve jeofizik metodlar yardımcı ile ayrı ayrı tayin edilmeli, taban kayada varlığı kabul edilecek deprem dalgalarının zemin yüzeyindeki davranışları geçerli bir teorik metod ile etüt edilmelidir.
3. Yapının temel ve temel üstü boyut analizine ancak böyle bir zemin büyütme etüdünden sonra geçmelidir.

## **KAYNAKLAR**

Hardin, B.O., and Drenich, V. P., 1972, Shear Modulus and Damping in Soils: Design Equations and Curves, Proceedings, ASCE, Journal of Soil Mechanics, Vol. 98, SM7, July.

Martin, C.D. 1969, Techniques for Field Measurement of Shear Wave Velocity in Soils, 4th WCEE, January, Santiago, Chile.

Stokoe, K. H. and Woods, R.D. 1972, In-situ Shear Wave Velocity by Cross-Hole Method, Proceedings, ASCE, Journal of Soil Mechanics, Vol. 98, SM5, May.

Tezcan, S.S. and İpek, M. 1974, Shear Wave Propagation in Layered Soils, Internal Report No. 74-2E, Department of Civil Engineering, Boğaziçi Üniversitesi, İstanbul.

Tezcan, S., Durgunoğlu, H.T. ve Whitman, R.V. 1974, A Field Survey to Determine Seismic Parameters at Tofaş Auto Factory Site, Bursa, Turkey, Internal Report No. 74-1E, Department of Civil Engineering, Boğaziçi Üniversitesi, İstanbul.

Tezcan, S., Durgunoğlu, H.T., İpek, M. ve Durgunoğlu, T. 1974, İstanbul Söğütlüçeşme İstasyon Tesisleri Projesi Geoteknik ve Dinamik Etüdü, Dahili Rapor No. 74-6T, Boğaziçi Üniversitesi, İstanbul.

Tezcan, S. ve Durgunoğlu, H.T. 1974, Soma-II Termik Santrali Zemini Geoteknik ve Sismik Etüdü, Dahili Rapor No. 74-10T, Boğaziçi Üniversitesi, İstanbul.